

## Инварианты $\Omega$ -сопряженности диффеоморфизмов с негрубой гомоклинической траекторией

Найдены условия  $\Omega$ -сопряженности двумерных диффеоморфизмов с нетривиальной структурой предельного множества в окрестности негрубой гомоклинической траектории.

Знайдені умови  $\Omega$ -спряженості двовимірних дифеоморфізмів з нетривіальною структурою граничної множини в околі негрубої гомоклінічної траєкторії.

В предыдущей статье авторов [1] установлены необходимые условия топологической сопряженности диффеоморфизмов с негрубой гомоклинической траекторией. В настоящей статье найдены достаточные условия  $\Omega$ -сопряженности диффеоморфизмов в окрестности негрубых гомоклинических траекторий.

Рассмотрим  $\mathbb{C}^r$ -гладкий,  $r \geq 3$ , диффеоморфизм  $T$  двумерного многообразия, удовлетворяющий следующим условиям: а)  $T$  имеет седловую неподвижную точку с собственными значениями  $\lambda, \gamma$ , где  $0 < |\lambda| < 1 < |\gamma|$ ; б) седловая величина  $\sigma = |\lambda\gamma| < 1$ ; в)  $T$  имеет негрубую гомоклиническую траекторию  $\Gamma$ , образованную касанием нечетного порядка  $n \geq 1$  устойчивого  $W^s$  и неустойчивого  $W^u$  многообразий седловой точки.

Будем считать, что неподвижной точкой является начало координат  $O(0, 0)$ .

**Л е м м а 1.** *Существует замена переменных класса  $\mathbb{C}^r$  такая, что в достаточно малой окрестности  $S$  седловой неподвижной точки  $O(0, 0)$  отображение  $T$  имеет вид\**

$$\bar{x} = \lambda x + f(x, y)x^2y, \quad \bar{y} = \gamma y + g(x, y)xy^2. \quad (1)$$

**Д о к а з а т е л ь с т в о.** Двумерное отображение класса  $\mathbb{C}^r$ ,  $r \geq 3$ , в окрестности седловой неподвижной точки можно записать в виде

$$\begin{aligned} \bar{x} &= \lambda x + \varphi_1(x) + \psi_1(y)x + f_1(x, y)x^2y, \\ \bar{y} &= \gamma y + \varphi_2(y) + \psi_2(x)y + g_1(x, y)xy^2, \end{aligned} \quad (2)$$

где  $\varphi_i(0) = \varphi'_i(0) = \psi_i(0) = 0$ ,  $i = 1, 2$ . Чтобы привести (2) к виду (1), необходимо сделать 4 последовательных замены переменных: 1°.  $\xi = x + h_1(y)x$ ,  $\eta = y$ ; 2°.  $\xi = x$ ,  $\eta = y + h_2(x)y$ ; 3°.  $\xi = x + h_3(x)$ ,  $\eta = y$ ; 4°.  $\xi = x$ ,  $\eta = y + h_4(y)$ ; где  $h_i(0) = 0$ ,  $h_3(0) = h'_4(0) = 0$ ,  $i = 1, \dots, 4$ . Функции  $h_i$  подбираются с таким расчетом, чтобы замены 1°—4° устранили члены  $\psi_1(y)x$ ,  $\psi_2(x)y$ ,  $\varphi_1(x)$  и  $\varphi_2(y)$  в (2). Нетрудно убедиться, что  $h_i$  должны удовлетворять следующим гомологическим уравнениям:

$$h_1(\gamma y + \varphi_2(y)) = \frac{\lambda h_1(y) - \psi_1(y)}{\lambda + \psi_1(y)}, \quad h_2(\lambda x + \varphi_1(x)) = \frac{\gamma h_2(x) - \psi_2(x)}{\gamma + \psi_2(x)}, \quad (3)$$

$$h_3(\lambda x + \varphi_1(x)) = \lambda h_3(x) - \varphi_1(x), \quad h_4(\gamma y + \varphi_2(y)) = \gamma h_4(y) - \varphi_2(y).$$

Прониллюстрируем, как получаются эти уравнения на примере замены 1°. Имеем

$$\bar{\xi} = \bar{x} + h_1(\bar{y})\bar{x} \equiv \lambda x + \varphi_1(x) - x[\lambda h_1(y) - h_1(\gamma y + \varphi_2(y))(\lambda + \psi_1(y))] + \dots, \quad (4)$$

где многоточием обозначены члены вида  $r(\xi, \eta)\xi^2\eta$ . Так как  $x = \xi(1 + h_1(\eta))^{-1}$ , то, очевидно, в правых частях для  $\bar{\xi}$  не будет членов вида  $r(\eta)\xi$ , если в (4) выражение в квадратных скобках тождественно равно ну-

\* Вид (1) отображения  $T|_S$  использован в [1].

лю. При этом  $\varphi_1(x)$  принимает вид  $\varphi_1(\xi(1+h_1(\eta))^{-1}) \equiv \varphi_1(\xi) + [\varphi_1(\xi(1+h_1(\eta))^{-1}) - \varphi_1(\xi)] = \varphi_1(\xi) + \dots$

Нетрудно показать, что каждое из уравнений в (3) допускает решение в классе  $\mathcal{C}^r$ -гладких функций. А именно, эти уравнения можно рассматривать в качестве функциональных соотношений, определяющих некоторые инвариантные многообразия отображений плоскости. Например,  $\xi = h_1(y)$  — это уравнение инвариантной кривой отображения  $\bar{\xi} = (\lambda\xi - \psi_1(y))(\lambda + \psi_1(y))^{-1}$ ,  $\bar{y} = \gamma y + \varphi_2(y)$ , которое имеет неустойчивое многообразие [2, 3], проходящее через неподвижную точку  $(0, 0)$  с собственными значениями 1 и  $\gamma$ , — инвариантную кривую искомого вида с  $h_1 \in \mathcal{C}^r$ . Аналогично,  $\xi = h_3(y)$  — уравнение инвариантной кривой отображения  $\bar{\xi} = \lambda\xi - \varphi_1(x)$ ,  $\bar{x} = \lambda x + \varphi_1(x)$ . В переменных  $(\xi', x) = (\xi + x, x)$  это отображение имеет вид  $\bar{\xi}' = \lambda\xi$ ,  $\bar{x} = \lambda x + \varphi_1(x)$ . Оно допускает  $\mathcal{C}^r$ -линеаризацию в некоторой окрестности дикритического узла  $(0, 0)$ , и, следовательно, имеет  $\mathcal{C}^r$ -гладкую инвариантную кривую вида  $\xi' = x + h_3(x)$ , а исходное отображение — инвариантную кривую  $\xi = h_3(x)$ . Аналогично доказывается существование  $\mathcal{C}^r$ -гладких функций  $h_2(x)$  и  $h_4(y)$ . Отметим, что подобные замены переменных в окрестности многомерного состояния равновесия типа седло-фокус проведены в [4].

Итак, будем предполагать, что  $T|_S$  имеет вид (1). Выберем в  $S$  пару точек траектории  $\Gamma: M^+(x^+, 0) \in W_{\text{loc}}^s$  и  $M^-(0, y^-) \in W_{\text{loc}}^u$ . При этом существует натуральное  $m$  такое, что  $T^m M^- = M^+$ . Пусть  $\Pi_0$  и  $\Pi_1$  — достаточно малые прямоугольные окрестности точек  $M^+$  и  $M^-$  соответственно. Отображение  $\hat{T} = T^m: \Pi_1 \rightarrow \Pi_0$  может быть представлено в виде [5, 6]

$$\begin{aligned} \bar{x} - x^+ &= F(x, y - y^-), \quad \bar{y} = G(x, y - y^-) \equiv \\ &\equiv D(x, y)(y - y^- - \varphi(x))^{n+1} + E(x, y)x. \end{aligned}$$

Здесь в силу условия в)  $F(0, 0) = 0$ ,  $\frac{\partial^i G}{\partial y^i}(0, 0) = 0$ ,  $i = 0, \dots, n$ ,

$\frac{\partial^{n+1} G}{\partial y^{n+1}}(0, 0) = (n+1)!d$ , где  $d = D(0, y^-) \neq 0$ ;  $\varphi(0) = 0$ . Пусть также

$E(0, y^-) \equiv \frac{\partial G}{\partial x}(0, 0) = c$ , где  $c \neq 0$ .

Аналогично [7] можно показать, что для любого достаточно большого  $k$  отображение  $T^k: \Pi_0 \rightarrow \Pi_1$  определено и представимо в виде  $x_1 = \xi_k(x_0, y_1)$ ,  $y_0 = \eta_k(x_0, y_1)$ , где  $(x_i, y_i) \in \Pi_i$ ,  $i = 0, 1$ , и

$$\xi_k \equiv \lambda^k x_0 + |\lambda|^k |\gamma|^{-k} \theta_k(x_0, y_1), \quad \eta_k \equiv \gamma^{-k} y_1 + |\gamma|^{-2k} \psi_k(x_0, y_1), \quad (5)$$

а функции  $\theta_k$  и  $\psi_k$  и их производные любого порядка  $\leq r$  равномерно ограничены по  $k$ . В силу (5) область определения отображения  $T^k: \Pi_0 \rightarrow \Pi_1$  представляет собой «прямоугольник»  $\sigma_k^0$ , а область значений — «прямоугольник»  $\sigma_k^1 = T^k \sigma_k^0$ . Аналогично [8] выберем специальную окрестность

$U_{\bar{k}} = U_{\bar{k}}(\bar{\Gamma})$  так, чтобы  $\Pi_0$  и  $\Pi_1$  содержали целиком  $\sigma_{\bar{k}}^0$  и  $\sigma_{\bar{k}}^1$  с номерами  $k \geq \bar{k}$ , и  $\Pi_i \cap \sigma_{\bar{k}}^i = \emptyset$ , если  $k < \bar{k}$ . Пусть  $\sigma_i = \bigcup_{k=\bar{k}}^{\infty} \sigma_k^i$ ,  $i = 0, 1$ .

Множество траекторий (полутраекторий), целиком лежащих в  $U_{\bar{k}}$ , обозначим через  $N_{\bar{k}}(N_{\bar{k}}^{\pm})$ . Пару натуральных чисел  $(j_i, j_{i+1})$  назовем допустимой, если в  $N_{\bar{k}}(N_{\bar{k}}^{\pm})$  есть траектория (полутраектория), пересекающая последовательно  $\sigma_{j_i}^1$  и  $\sigma_{j_{i+1}}^1$ . В [5, 8] показано, что при достаточно большом  $\bar{k}$  в  $N_{\bar{k}}(N_{\bar{k}}^{\pm})$  можно указать подсистему  $\tilde{N}_{\bar{k}}(\tilde{N}_{\bar{k}}^{\pm})$  траекторий седлового

типа (полутраекторий), допустимые пары которых удовлетворяют неравенствам

$$d[\gamma^{-j}i+1y^- - c\lambda^jix^+] > S_1(|\lambda|^j i + |\gamma|^{-j}i+1)|\gamma|^{-\bar{k}/(n+1)}. \quad (6)$$

Заметим, что при выполнении неравенства (6) пересечение  $\hat{T}\sigma_{i+1}^1$  с  $\sigma_{j+1}^0$  «грубое» и состоит из двух компонент связности. С другой стороны,  $\hat{T}\sigma_{i+1}^1 \cap \sigma_{i+1}^0 = \emptyset$ , если, например,

$$d[\gamma^{-j}i+1y^- - c\lambda^jix^+] < -S_2(|\lambda|^j i + |\gamma|^{-j}i+1)|\gamma|^{-\frac{\bar{k}}{n+1}}. \quad (7)$$

В зависимости от типа описания множества  $N_{\bar{k}}$  можно выделить два принципиально различных случая: 1)  $N_{\bar{k}}$  имеет простую структуру, т. е.  $N_{\bar{k}}$  содержит только две траектории: седло  $O(0, 0)$  и гомоклиническую траекторию  $\Gamma$ ; 2)  $N_{\bar{k}}$  содержит нетривиальные гиперболические подмножества. Первый случай имеет место при  $d < 0, \gamma > 0$ . У таких диффеоморфизмов, за исключением тех, у которых  $\lambda > 0, c < 0$ , множество  $N_{\bar{k}}^+$  содержит континуум полутраекторий, асимптотически приближающихся к  $\Gamma$ . Это вытекает из того, что неравенство (6) допускает бесконечное множество решений вида  $j_{i+1} > j_i$ . В случае же  $d < 0, \gamma > 0, \lambda > 0, c < 0$  неравенство (6) вообще не имеет решений, и траектория  $\Gamma$  не будет предельной. (Здесь  $T\sigma_j^1 \cap \sigma_0 = \emptyset$  для любого  $j \geq \bar{k}$ .) Для диффеоморфизмов с нетривиальными  $N_{\bar{k}}$  возможны случаи полного и смешанного описаний траекторий. Если  $\lambda > 0, \gamma > 0, c < 0, d > 0$ , то траектории в  $N_{\bar{k}}$  описываются полностью; все траектории за исключением  $\Gamma$  будут седловыми [5, 8]. Остальные случаи отвечают диффеоморфизмам со смешанным описанием, здесь в  $N_{\bar{k}}$  наряду с гиперболическими подмножествами могут быть устойчивые или негрубые периодические траектории. Подробнее об этом см. [1, 6].

Рассмотрим пару диффеоморфизмов  $T_1$  и  $T_2$ , удовлетворяющих а)–в). Отметим некоторые условия, заведомо необходимые для сопряженности диффеоморфизмов  $T_1$  и  $T_2$ . Одно из них имеет вид

$$\text{sign } \lambda_1 = \text{sign } \lambda_2, \quad \text{sign } \gamma_1 = \text{sign } \gamma_2. \quad (8)$$

Далее, пусть  $M_i^+(x_i^+, 0)$  и  $M_i^-(0, y_i^-)$ ,  $i = 1, 2$ , — произвольно выбранные пары точек траекторий  $\Gamma_1$  и  $\Gamma_2$ . Тогда  $T_i^{m_i}M_i^- = M_i^+$  для некоторых  $m_1$  и  $m_2$ . По этим парам точек согласно изложенному выше определяем параметры  $c_i$  и  $d_i$ . Пусть  $\alpha_i = \text{sign } c_i \text{sign } (\lambda_i \gamma_i)^{m_i}$ ,  $\beta_i = \text{sign } d_i \text{sign } (\gamma_i)^{m_i}$ . Значения индексов  $\alpha$  и  $\beta$ , в отличие от знаков параметров  $c$  и  $d$ , не зависят от выбора гомоклинических точек. Если рассмотреть гомоклинические точки  $TM^+, M^-$  (или  $M^+, T^{-1}M^-$ ), то знаки новых параметров  $c'$  и  $d'$  будут связаны со знаками  $c$  и  $d$  по формулам [5]  $\text{sign } c' = \text{sign } c \text{sign } \lambda \gamma$ ,  $\text{sign } d' = \text{sign } d \text{sign } \gamma$ . Второе необходимое условие сопряженности  $T_1$  и  $T_2$  — это равенства

$$\alpha_1 = \alpha_2, \quad \beta_1 = \beta_2. \quad (9)$$

Только в этом случае будут совпадать знаки параметров  $c$  и  $d$  соответствующих при сопряжении пар гомоклинических точек.

В работе [1] с помощью величин  $\theta = -\ln |\lambda|/|\ln |\gamma||$  и  $\tau = \frac{1}{|\ln |\gamma||} \ln |cx^+/y^-|$  установлены необходимые условия топологической сопряженности диффеоморфизмов в окрестности негрубой гомоклинической траектории. Одно из таких условий — это равенство  $\theta_1$  и  $\theta_2$ . Кроме него требовалось, вообще говоря, выполнение определенных соотношений для величин  $\tau_1$  и  $\tau_2$  (см. теоремы 1—3 в [1]), которые вычислялись по специально подобранным парам гомоклинических точек диффеоморфизмов  $T_1$  и  $T_2$ .

Последнее обстоятельство связано с тем, что  $\tau$  зависит от выбора гомоклинических точек [1]

$$\tau(T^s M^+, T^p M^-) = \tau(M^+, M^-) + (s - p)(1 - \theta), \quad (10)$$

где  $\tau(M', M'')$  — величина  $\tau$ , построенная по гомоклиническим точкам  $M'$  и  $M''$ , лежащим на  $W_{loc}^s$  и  $W_{loc}^u$  соответственно. Пусть  $M_i \in W_{loc}^u$ ,  $T^k M_i \in W_{loc}^s$  — пары точек траектории  $\Gamma$ , тогда из (10) вытекает

$$\tau(M_1, T^k M_1) = \tau(M_2, T^k M_2) = \tau(k). \quad (11)$$

Введем новую величину  $\tau_0$ , связанную с  $\theta$  и  $\tau$  таким образом:  $\tau_0 \equiv \tau(k) - k(1 - \theta)$ .

**Лемма 2.** Величина  $\tau_0$  не зависит от выбора гомоклинических точек.

Действительно, пусть  $M_i^s \in W_{loc}^s$ ,  $M_i^u \in W_{loc}^u$ ,  $i = 1, 2$ , — две пары точек траектории  $\Gamma$ . Тогда, очевидно, существуют такие целые  $k_1, k_2, k_3$ , что

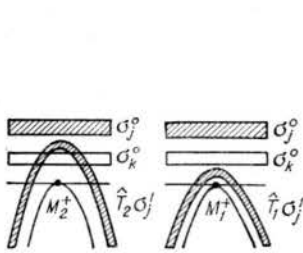


Рис. 1.

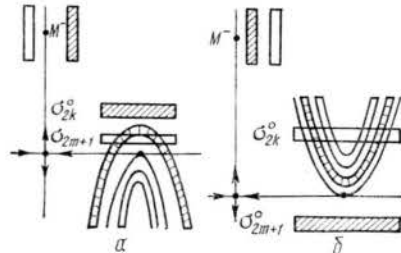


Рис. 2.

$M_1^s = T^{k_1} M_1^u$ ,  $M_2^s = T^{k_2} M_2^u$  и, следовательно,  $M_2^s = T^{k_3 - k_2 + k_1} M_1^u$ . Из (10) и (11) получим

$$\begin{aligned} \tau(k_1) - k_1(1 - \theta) &= \tau(T^{-k_3} M_2^s, T^{k_2 - k_1 - k_3} M_1^u) - k_1(1 - \theta) = \\ &= \tau(M_2^s, M_1^u) + (-k_3 - k_2 + k_1 + k_3)(1 - \theta) - k_1(1 - \theta) = \tau(k_2) - k_2(1 - \theta). \end{aligned}$$

Кроме того, нетрудно убедиться, что  $\tau_0$  также не зависит от гладких замен координат, сохраняющих вид (1) отображения  $T|_S$ .

**Теорема 1.** Пусть  $T_1$  и  $T_2$  сопряжены. Тогда  $\theta_1 = \theta_2 = \theta$ , и если не выполняется условие  $\lambda_i > 0$ ,  $\gamma_i > 0$ ,  $c_i < 0$ , то при иррациональном  $\theta$   $\tau_0^1 = \tau_0^2$ , а при  $\theta$  рациональном и равном  $p/q$

$$s/q \leq \tau_0^i \leq (s + 1)/q, \quad i = 1, 2, \quad (12)$$

для некоторого целого  $s$ .

**З а м е ч а н и е.** Если условия теоремы не выполняются, то, как следует из [1], существует бесконечное множество пар натуральных чисел  $j, k$  таких, что для одного из диффеоморфизмов, например  $T_1$ ,  $\hat{T}_1 \sigma_j^s \cap \sigma_k^u = \emptyset$ , а для другого пересечения  $\hat{T}_2 \sigma_j^s$  с  $\sigma_k^u$  — «грубое» двусвязное (рис. 1). Такие пары  $(j, k)$  являются допустимыми для  $T_2$  и недопустимыми для  $T_1$ , а при  $\theta_1 = \theta_2 = \theta$  удовлетворяют неравенству

$$\dots - \tau_0^1 < k - j\theta < -\tau_0^2 + \dots \quad (13)$$

Если  $\theta$  иррационально, то (13) допускает счетное множество целочисленных решений при  $\tau_0^1 > \tau_0^2$ . Если же  $\theta = p/q$ , то при выполнении условия (12) неравенство (13) не имеет решений в целых числах, а при нарушении этого условия ему будут удовлетворять, в частности, целочисленные решения уравнения  $kq - jp = s'$ , где  $s'$  равно либо  $s$ , либо  $s + 1$ . Для диффеоморфизмов с простым описанием, за исключением случаев с  $\lambda < 0$  при  $\theta = p/q$ , условия теоремы необходимы для сопряженности на множестве траекторий,  $\omega$ -предельных к неблуждающим, а для диффеоморфизмов со смешанным опи-

санием, кроме случаев, отвечающих  $\gamma < 0, \lambda > 0, cd > 0$  при  $\theta = p/q$ , — для  $\Omega$ -сопряженности. Если  $\lambda < 0, \gamma > 0, d < 0$  при  $\theta = p/q$  и не выполняется условие (12), то возможен следующий случай. Существует счетное множество чисел  $j, k$  таких, что  $\hat{T}_1 \sigma_j^1 \cap \sigma_k^0 = \emptyset, \hat{T}_2 \sigma_j^1 \cap \sigma_k^0 \neq \emptyset$ , но  $\hat{T}_i \sigma_k^1 \cap \sigma_0 = \emptyset, i = 1, 2$ , (рис. 2, а иллюстрирует случай, когда  $j$  четное,  $k$  нечетное).

Такие  $T_1$  и  $T_2$  не сопряжены из-за того, например, что точка  $M_2^-$  в отличие от  $M_1^-$  принадлежит топологическому пределу множества последних точек на отрезках траекторий с описанием  $[\dots, j, k]$ . Аналогичная ситуация имеет место и в случае  $\gamma < 0, \lambda > 0, cd > 0$  при  $\theta = p/q$ . Но в данном случае «различающие» траектории можно выбрать в классе траекторий,  $\omega$ -предельных к гомоклиническим (см. также теорему 3).

Теперь исследуем вопрос о достаточных условиях, при которых диффеоморфизмы со смешанным описанием будут  $\Omega$ -сопряжены в некоторых специальных окрестностях гомоклинических траекторий. Сразу предположим, что выполняются соотношения (8) и (9), так как они, очевидно, не обходимы для  $\Omega$ -сопряженности таких диффеоморфизмов. Предварительно докажем следующее утверждение.

**Утверждение\*.** Пусть  $T$  — диффеоморфизм со смешанным описанием и  $\theta = p/q, a \tau_0 \neq s/q$  для любого целого  $s$ . Тогда существует такое натуральное  $\bar{k}_0 = \bar{k}_0(\theta, \tau_0) \rightarrow \infty$  при  $q \rightarrow \infty$  или  $|\tau_0 - s/q| \rightarrow 0$ , что  $N_{\bar{k}_0} = \tilde{N}_{\bar{k}_0} \cup \Gamma$ .

**Доказательство.** Рассмотрим случай  $\lambda > 0, \gamma > 0, c > 0, d > 0$ . В остальных случаях доказательство аналогично. Допустимые пары множества траекторий из  $N_{\bar{k}_0} \setminus (\tilde{N}_{\bar{k}_0} \cup \Gamma)$  должны удовлетворять неравенствам, противоположным (6) и (7), т. е.

$$|\gamma^{-j} i_+ y^- - c \lambda^j i x^+| < S_3 (|\lambda|^i + |\gamma|^{-j} i_+) |\gamma|^{-\bar{k}_0/(n+1)}. \quad (14)$$

Прологарифмировав это неравенство, получим следующее:  $|j_{i+1} - j_i \theta + \tau| < S_4 |\gamma|^{-\bar{k}_0/(n+1)}$ . Поскольку  $\theta = p/q$  и  $\tau \equiv \tau(m) = \tau_0 + m(1 - \theta)$ , то последнее неравенство принимает вид  $|(j_{i+1} + m) - (j_i + m)p/q + \tau_0| < S_4 |\gamma|^{-\bar{k}_0/(n+1)}$ . По условию теоремы  $\tau_0 \neq s/q$ , поэтому при достаточно большом  $\bar{k}_0 = \bar{k}_0(\theta, \tau_0)$  данное неравенство не будет иметь целочисленных решений (прямая  $j = ip/q - \tau_0$  при  $\tau_0 \neq s/q$  находится на конечном расстоянии от  $\theta$  и  $\tau_0$  расстоянии от точек целочисленной решетки). Тем самым  $N_{\bar{k}_0} = \tilde{N}_{\bar{k}_0} \cup \Gamma$ .

**Теорема 2.** Если  $\theta_1 = \theta_2 = p/q$  и

$$s/q < \tau_0^k < (s+1)/q, \quad k = 1, 2, \quad (15)$$

для некоторого целого  $s$ , то диффеоморфизмы  $T_1$  и  $T_2$  будут  $\Omega$ -сопряжены в некоторых окрестностях гомоклинических траекторий.

**Доказательство.** Выберем гомоклинические точки  $M_1^+, M_1^-$  и  $M_2^+, M_2^-$  траекторий  $\Gamma_1$  и  $\Gamma_2$  соответственно так, что

$$T_k^m(M_k^-) = M_k^+, \quad k = 1, 2, \quad (16)$$

для некоторого натурального  $m$ . Рассмотрим случай  $\lambda > 0, \gamma > 0, c > 0, d > 0$ . Диффеоморфизмы  $T_1$  и  $T_2$  удовлетворяют условиям утверждения, поэтому множества допустимых пар для  $N_{\bar{k}_1}^1$  и  $N_{\bar{k}_2}^2$  соответственно определяются неравенствами

$$\begin{aligned} (j_{i+1} + m) - (j_i + m)p/q + \tau_0^1 &< S_5 |\gamma_1|^{-\bar{k}_1/(n_1+1)}, \\ (j_{i+1} + m) - (j_i + m)p/q + \tau_0^2 &< S_5 |\gamma_2|^{-\bar{k}_2/(n_2+1)}. \end{aligned} \quad (17)$$

\* См. также [7], где доказан аналогичный результат.

Так как выполняется условие (15), то неравенства (17) при достаточно большом  $\bar{k}_1$  имеют одно и то же множество решений. Этим неравенствам, очевидно, эквивалентно такое:

$$(j_{i+1} + m) - (j_i + m) p/q + \hat{\tau}_0 < 0 \quad (18)$$

при условии  $j_i, j_{i+1} \geq \bar{k}_1$ , где  $\hat{\tau}_0 = s/q + 1/2q$ .

Обозначим через  $\Omega$  фактор-систему, получаемую из топологической схемы Бернулли из трех символов 0, 1, 2 путем отождествления траекторий  $\omega_1 = (\dots, 0, \dots, 0, 1, 0, \dots, 0, \dots)$  и  $\omega_2 = (\dots, 0, \dots, 0, 2, 0, \dots, 0, \dots)$ . Рассмотрим подсистему  $\Omega_{k_1+m}^1 \subset \Omega$ , удовлетворяющую условиям: 1)  $\Omega_{k_1+m}^1$  содержит траекторию  $(\dots, 0, \dots, 0, \dots)$  и траекторию  $\omega$ , «склеенную» из  $\omega_1$  и  $\omega_2$ ; 2) в  $\Omega_{k_1+m}^1$  нет траекторий, имеющих отрезки длины, большей единицы, составленные из отличных от 0 символов; 3) длина  $j_i + m$  отрезка из нулей, следующего за символом, отличным от 0, не менее  $k_1 + m$ ; 4) для траекторий из  $\Omega_{k_1+m}^1$  выполняются условия (18).

Из настоящего рассмотрения вытекает, что  $N_{k_1}^1$  и  $N_{k_1}^2$  в этом случае сопряжены с  $\Omega_{k_1+m}^1$ .

Аналогично проводится доказательство в оставшихся случаях. В зависимости от комбинаций знаков параметров  $\lambda, \gamma, c$  и  $d$  возможны 6 типов диффеоморфизмов со смешанным описанием (см. таблицу). При выполнении условий теоремы 2 диффеоморфизмы  $T_1$  и  $T_2$  будут  $\Omega$ -сопряжены с некоторой подсистемой  $\Omega_{k_1+m}^l$ , описанной ниже и удовлетворяющей, в частности, соотношениям 1—3. Здесь индекс  $l$  означает номер столбца в таблице, для определенности в каждом из столбцов будем рассматривать первую комбинацию знаков  $\lambda, \gamma, c$  и  $d$ . Пусть  $j'_i = j_i + m$ . Тогда  $\Omega_{k_1+m}^l, l = 2, \dots, 6$ , будут удовлетворять также условиям, аналогичным 4, связывающим длины  $j'_i$  и  $j'_{i+1}$  полных отрезков из нулей, разделенных ненулевым символом. Эти условия для  $l = 2, \dots, 6$ , будут иметь следующий вид:

$$l = 2: \begin{cases} j'_{i+1} < j'_i \theta - \hat{\tau}_0, \text{ где } j_i, j_{i+1} \text{ четные,} \\ m \text{ четное при } \alpha = \beta = 1 \text{ и нечетное при } \alpha = \beta = -1, \end{cases}$$

$$l = 3: \begin{cases} \text{если } j_{i+1} \text{ четное, то } j'_{i+1} < j'_i \theta - \hat{\tau}_0, \\ m \text{ четное при } \alpha = \beta = -1 \text{ и нечетное при } \alpha = -\beta = -1, \end{cases}$$

$$l = 4: \begin{cases} \text{если } j_j \text{ четное, то } j'_{i+1} > j'_i \theta - \hat{\tau}_0, \\ m \text{ четное при } \alpha = 1 \text{ и нечетное при } \alpha = -1, \end{cases}$$

$$l = 5 (l = 6): \begin{cases} \text{если } j_i \text{ четное (нечетное), то } j_{i+1} \text{ четное и } j'_{i+1} < j'_i \theta - \hat{\tau}_0, \\ \text{если } j_i \text{ нечетное (четное), то либо } j_{i+1} \text{ любое четное,} \\ \text{либо } j'_{i+1} > j'_i \theta - \hat{\tau}_0, \\ m \text{ четное при } \beta = 1 \text{ и нечетное при } \beta = -1. \end{cases}$$

Параметр	1	2		3		4		5		6	
		$\alpha = \beta$		$\alpha = -\beta$		$\beta = 1$		$\alpha = 1$		$\alpha = -1$	
$\lambda$	+	+	+	+	+	-	-	-	-	-	-
$\gamma$	+	-	-	-	-	+	+	-	-	-	-
$c$	+	+	-	+	-	+	-	+	+	-	-
$d$	+	+	-	-	+	+	+	+	-	+	-

**Теорема 3.** Пусть для отображений  $T_1$  и  $T_2$  выполнены условия  $\lambda > 0$ ,  $\gamma < 0$ ,  $cd > 0$  и  $\theta_1 = \theta_2 = p/q$ . Предположим, что найдется  $k$ , для которого

$$|\tau_0^i q - k| < 1, \quad i = 1, 2, \quad (19)$$

причем в случае  $\alpha = \beta = 1$   $k$  — нечетное, а в случае  $\alpha = \beta = -1$  нечетным является  $k - (p - q)$ . Тогда  $T_1$  и  $T_2$  будут  $\Omega$ -сопряжены в некоторых окрестностях гомоклинических траекторий.

**Доказательство.** Выберем гомоклинические точки так, чтобы выполнялись условия (16) и  $c > 0$ ,  $d > 0$ . При этом  $m$  будет четным, если  $\alpha = \beta = 1$ , или нечетным, если  $\alpha = \beta = -1$ . Дiffeоморфизмы  $T_1$  и  $T_2$  будут  $\Omega$ -сопряжены, если оба неравенства в (17) имеют одно и то же множество решений в четных  $j_i$  и  $j_{i+1}$  (см. рис. 2, б). Пусть  $\tau_0^1$  и  $\tau_0^2$  удовлетворяют неравенствам (19) и  $\alpha = \beta = 1$ . В этом случае множества решений неравенств в (17) либо совпадают, либо отличаются на множество целочисленных решений уравнения  $j_{i+1}q - j_i p = -(2r + 1) - m(q - p)$ . Так как  $m$  четное, то это уравнение не может иметь решений в четных  $j_i$  и  $j_{i+1}$ . В случае  $\alpha = \beta = -1$  аналогично получаем уравнение  $j_{i+1}q - j_i p = -k - m(q - p)$ , а так как здесь  $m$  нечетное, то в случаях 1)  $k$  четное,  $(p - q)$  нечетное; 2)  $k$  нечетное,  $(p - q)$  четное, это уравнение не имеет решений в четных числах.

1. Гонченко С. В., Шильников Л. П. Об арифметических свойствах топологических инвариантов систем с негрубой гомоклинической траекторией // Укр. мат. журн.—1987.—39, № 1.— С. 21—28.
2. Kelley A. The stable, senter-stable, senter, senter-unstable and unstable manifolds // J. Different. Equat.— 1967.— 3, № 4.— P. 546—570.
3. Hirsch M. W., Pugh C., Shub M. Invariant manifolds // Lect. Notes Math.— 1983, N 5.— P. 1—149.
4. Овсянников И. М., Шильников Л. П. О системах с гомоклинической кривой седло-фокуса // Мат. сб.— 1986.— 130, № 4.— С. 552—570.
5. Гаврилов Н. К., Шильников Л. П. О трехмерных динамических системах, близких к системе с негрубой гомоклинической кривой. I, II // Там же.— 1972.— 88, № 4.— С. 475—492; 1973.— 90, № 1.— С. 139—157.
6. Гонченко С. В., Шильников Л. П. О динамических системах с негрубыми гомоклиническими кривыми // Докл. АН СССР.— 1985.— 292, № 5.— С. 1049—1053.
7. Афраймович В. С., Шильников Л. П. Об особых множествах систем Морса — Смейла // Тр. Моск. мат. о-ва.— 1973.— 28.— С. 181—214.
8. Гонченко С. В. Нетривиальные гиперболические подмножества систем с негрубой гомоклинической кривой // Методы качеств. теории диф. уравнений.— Горький, 1984.— С. 89—102.